

NOUVELLES CIBLES POUR L'EXPLORATION MINÉRALE TRAVAUX GÉOSCIENTIFIQUES 2015



Nouvelles cibles pour l'exploration minérale

Travaux géoscientifiques 2015

PRO 2015-05

Introduction

Géologie Québec présente encore cette année les cibles d'intérêt économique découlant des travaux géoscientifiques de l'année 2015. L'acquisition de nouvelles connaissances géoscientifiques est l'une des principales missions de Géologie Québec. Ces connaissances contribuent à la mise en valeur des ressources minérales du territoire québécois et favorisent la découverte de nouveaux gîtes par les compagnies d'exploration minière.

Lors des travaux sur le terrain, les géologues du ministère de l'Énergie et des Ressources naturelles ont identifié des zones où le contexte géologique est favorable à l'exploration minérale. Ces zones d'intérêt n'ont jamais fait l'objet de travaux détaillés, mais méritent d'être examinées plus à fond par les compagnies d'exploration. Ces nouvelles informations seront rendues publiques à la fin du mois de novembre, durant l'événement Québec Mines 2015.

Cibles 2015 pour l'exploration minérale

Une cible correspond à une zone où le contexte géologique est favorable à l'exploration minérale. Les informations fournies sur ces cibles proviennent d'observations de terrain réalisées par les géologues du Ministère. Il est d'usage de distinguer trois types de cibles : 1) les cibles **ponctuelles** mesurant moins de 100 mètres; 2) les cibles **locales** dont la taille varie de 100 mètres à 1 kilomètre; et 3) les cibles **régionales** qui font plus de 1 kilomètre.

À la suite des travaux géoscientifiques réalisés au cours de l'année 2015, les équipes du Ministère ont identifié **85 cibles** correspondant à des contextes géologiques favorables, des zones anormales ou des indices minéralisés. Ces cibles sont toutes localisées dans des secteurs ouverts à l'exploration minérale et non jalonnés en date du 9 octobre 2015. Il convient de préciser qu'au moment d'écrire ces lignes, seule une partie des résultats d'analyse géochimique

ont été reçus. L'arrivée prochaine de nouvelles données pourrait confirmer éventuellement l'existence de zones indicielles. Dans ce cas, l'information sera consignée dans le **Système d'information géominière** du Québec (SIGÉOM).

Les cibles sont localisées dans un tableau indiquant, entre autres, leurs coordonnées géographiques précises, le nom du projet d'acquisition auquel elles sont associées, ainsi que le numéro de la photoprésentation correspondante. Les participants à Québec Mines 2015 peuvent consulter les photoprésentations et rencontrer les géologues du Ministère pour en apprendre davantage sur ces nouvelles cibles et sur le potentiel minéral des différentes régions du Québec.

Les cibles d'exploration sont également présentées dans la carte interactive du SIGÉOM, accessible à l'adresse suivante :

http://sigeom.mrn.gouv.qc.ca/signet/classes/I1108_afchCartelIntr

De plus, la position des cibles est également reportée dans le Système de **Gestion des Titres miniers** (GESTIM Plus) à l'adresse suivante :

https://gestim.mines.gouv.qc.ca/MRN_GestimP_Presentation/ODM02101_login.aspx

Vous pouvez aussi obtenir plus d'informations sur nos projets en vous adressant au Bureau de la Connaissance géoscientifique du Québec ou en communiquant par courriel avec les responsables des projets :

Bureau de la connaissance géoscientifique du Québec

400, boulevard Lamaque, bureau 1.02

Val-d'Or (Québec) J9P 3L4

Téléphone : 819 354-4514

Télécopieur : 819 354-4508

| Responsable(s) | Projet | Courriel |
|-------------------|--|-----------------------------------|
| Daniel Bandyayera | Cartographie - Secteur du lac Rodayer, Baie-James | Daniel.Bandyayera@mern.gouv.qc.ca |
| Isabelle Lafrance | Cartographie - Région du lac Jeannin, Churchill SE | Isabelle.Lafrance@mern.gouv.qc.ca |
| Carl Bilodeau | Cartographie - Fosse du Labrador | Carl.Bilodeau@mern.gouv.qc.ca |
| François Leclerc | Cartographie et compilation - Région du lac à l'Eau Jaune, Chapais | François.Leclerc@mern.gouv.qc.ca |
| Pénélope Burniaux | Cartographie - Région du lac Joubert, Baie-James | Pénélope.Burniaux@mern.gouv.qc.ca |
| Jean Goutier | Cartographie - Région du lac de Villaret, Baie-James | Jean.Goutier@mern.gouv.qc.ca |
| Abdelali Moukhsil | Cartographie - Région de Clova, Haute-Mauricie, cartographie - Projet Les Escoumins, Côte Nord | Abdelali.Moukhsil@mern.gouv.qc.ca |
| Robert Thériault | Cartographie - Région de la rivière Patapédia, Bas-Saint-Laurent | Robert.Theriault@mern.gouv.qc.ca |

Veillez noter que d'autres cibles ont été identifiées durant l'année 2015 dans les publications suivantes :

INTISSAR, R. – ALLARD, G. – BENAHMED, S., 2015 – Interprétation qualitative des données aéromagnétiques dans les secteurs des rivières Buron et Brochant, côte ouest de la Baie d'Ungava. Ministère de l'Énergie et des Ressources naturelles; PRO 2015-01, 12 pages.

DUBÉ-LOUBERT, H. – DAUBOIS, V. – ALLARD, G. – ROY, M., 2015 – Cibles d'exploration déterminées à partir de levés quaternaires dans la partie sud-est de la Province de Churchill. Ministère de l'Énergie et des Ressources naturelles; PRO 2015-02, 8 pages.

Édition : Claude Dion

Compilation des données : Mehdi A. Guemache

Graphisme : André Tremblay

www.mern.gouv.qc.ca/produits-services/mines.jsp

Dépôt légal – Bibliothèque et Archives nationales du Québec, 2014

© Gouvernement du Québec, 2015

| Numéro et nom | Taille | Localisation (UTM NAD83) | Feuillet SNRC | Projet | Photoprésentation | Responsable(s) | Substance(s) | Description |
|--|------------|---|---------------|--|-------------------|---|----------------|--|
| Province du Supérieur (Baie James) – Région administrative Nord-du-Québec | | | | | | | | |
| (1) Lac Chaboulié | Régionale | Zone 18 292671 mE 5641142 mN à 301533 mE 5647145 mN | 32K13 | Cartographie – Région du lac Rodayer, Baie-James | G28 | Daniel Bandyayera Yannick Daoudene Simon Bourassa | Cu-Pb-Zn-Ag-Au | Roches sédimentaires riches en fer et zones rouillées associées à des zones de déformation métriques contenant <10 % PY-PO-CP disséminées ou en veinules dans séquence volcanique intermédiaire et mafique. |
| (2) Marais Niskachekw | Régionale | Zone 18 327393 mE 5668551 mN à 348907 mE 5670621 mN | 32N03 | Cartographie – Région du lac Rodayer, Baie-James | G28 | Daniel Bandyayera Yannick Daoudene Simon Bourassa | Cu-Pb-Zn-Ag-Au | Zones décamétriques de sulfures semi-massifs et massifs à PO-PY et niveaux rouillés associés à des zones de déformation métriques contenant <10 % PY-PO-CP disséminés ou en veinules dans roches volcaniques intermédiaires et mafiques. |
| (3) Syénite du lac Rodayer | Régionale | Zone 18 296627 mE 5642679 mN à 313577 mE 5636384 mN | 32K13 | Cartographie – Région du lac Rodayer, Baie-James | G28 | Daniel Bandyayera Yannick Daoudene Simon Bourassa | Au + ETR | Complexe alcalin (18 km x 4 km) formé de syénite porphyrique avec <90% de feldspath potassique. Ce complexe est situé entre les zones de cisaillement de la rivière Nottaway et du lac Colomb. |
| (4) Zone de cisaillement de la rivière Nottaway | Régionale | Zone 18 288932 mE 5625747 mN à 304901 mE 5637925 mN | 32K13 | Cartographie – Région du lac Rodayer, Baie-James | G28 | Daniel Bandyayera Yannick Daoudene Simon Bourassa | Cu-Pb-Zn-Ag-Au | Lentilles décamétriques à kilométriques d'amphibolite dans la Zone de cisaillement de la rivière Nottaway présentant des zones minéralisées décimétriques localement bréchiques avec <20 % de sulfures disséminés et en lamines. |
| Province du Supérieur (Baie-James) – Région administrative Nord-du-Québec | | | | | | | | |
| (5) 15-HH-2047 | Ponctuelle | Zone 18 672545 mE 5898053 mN | 33H01 | Cartographie – Région du lac Joubert, Baie-James | G29 | Pénélope Burniaux Hanafi Hammouche | Au | Enclave d'amphibolite foliée à l'intérieur du Pluton de la rivière Galinée, coupée par des veines de QZ et PY (1 %). |
| (6) 15-NC-6074 | Ponctuelle | Zone 18 696015 mE 5887473 mN | 33H01 | Cartographie – Région du lac Joubert, Baie-James | G29 | Pénélope Burniaux Hanafi Hammouche | Au | Petit lambeau d'amphibolite rubanée et plissée coupé par zones schisteuses décimétriques contenant des sulfures (PY-PO) disséminés et en lamines. Assemblage GR-AM-DP. |
| (7) 15-CL-5143 | Ponctuelle | Zone 19 365955 mE 5900193 mN | 23E04 | Cartographie – Région du lac Joubert, Baie-James | G29 | Pénélope Burniaux Hanafi Hammouche | Au | Niveaux rouillés graphiteux de 5 m de largeur au contact amphibolite et paragneiss migmatitisés. Visible sur >10 m. |
| (8) 15-AR-4213 | Ponctuelle | Zone 19 317603 mE 5892516 mN | 23E04 | Cartographie – Région du lac Joubert, Baie-James | G29 | Pénélope Burniaux Hanafi Hammouche | Au-Cu | Plusieurs petits niveaux de paragneiss sulfurés (PO-PY-CP) et rouillés. |
| (9) 15-AR-4089 | Ponctuelle | Zone 19 319009 mE 5892583 mN | 23E04 | Cartographie – Région du lac Joubert, Baie-James | G29 | Pénélope Burniaux Hanafi Hammouche | Au-Cu | Paragneiss altéré avec petits niveaux rouillés contenant <10 % de sulfures disséminés (PY-CP-AS). Présence d'une veine de QZ fortement rouillée et d'un niveau altéré à AM-DP-GR. Quantités appréciables de PO-MG. |
| (10) 15-CL-5156 | Ponctuelle | Zone 19 329559 mE 5884238 mN | 23E04 | Cartographie – Région du lac Joubert, Baie-James | G29 | Pénélope Burniaux Hanafi Hammouche | Au-Cu | Niveau altéré décamétrique à PY-PO-CP, rouillé et silicifié, encaissé dans un paragneiss schisteux à GR. |
| (11) 15-AR-4085 | Ponctuelle | Zone 19 329533 mE 5882535 mN | 23E04 | Cartographie – Région du lac Joubert, Baie-James | G29 | Pénélope Burniaux Hanafi Hammouche | Au-Cu | Paragneiss altéré pyriteux et niveau sulfuré fortement rouillé de 0,5 m d'épaisseur. |
| (12) 15-CL-5009 | Ponctuelle | Zone 18 678949 mE 5900932 mN | 33H01 | Cartographie – Région du lac Joubert, Baie-James | G29 | Pénélope Burniaux Hanafi Hammouche | Ni-Cr-EGP | Zone cisailée dans une pyroxénite à olivine amphibolitisée finement grenue. |
| (13) 15-PB-1037 | Ponctuelle | Zone 19 311457 mE 5898493 mN | 23E04 | Cartographie – Région du lac Joubert, Baie-James | G29 | Pénélope Burniaux Hanafi Hammouche | Au | Formation de fer à oxydes encaissée dans paragneiss avec sulfures (PY-AS) sur une épaisseur apparente de 5 m. |
| (14) 15-AR-4240 | Ponctuelle | Zone 19 330113 mE 5901592 mN | 23E03 | Cartographie – Région du lac Joubert, Baie-James | G29 | Pénélope Burniaux Hanafi Hammouche | Au | Formation de fer à oxydes rubanée riche en sulfures sur une épaisseur apparente de 3 m. |
| (15) Ultramafite de Dutreuil | Locale | Zone 19 330885 mE 5886260 mN à 331245 mE 5883170 mN | 23E04 | Cartographie – Région du lac Joubert, Baie-James | G29 | Pénélope Burniaux Hanafi Hammouche | Ni-Cu | Pyroxénite à olivine schisteuse associée à une forte anomalie magnétique de 2,5 km x 0,9 km. |

| Numéro et nom | Taille | Localisation (UTM NAD83) | Feuille SNRC | Projet | Photoprésentation | Responsable(s) | Substance(s) | Description |
|---|------------|---|--------------|--|-------------------|---|--------------|--|
| (16) 15-HH-2091 | Locale | Zone 19 332286 mE 5887173 mN à 335626 mE 5884721 mN | 23E03 | Cartographie – Région du lac Joubert, Baie-James | G29 | Pénélope Burniaux Hanafi Hammouche | Cu-Zn-Au-Ag | Bande de metabasaltes de 4 km x 0,7 km associés à de rares niveaux de felsites. La plupart des affleurements sont minéralisés en sulfures (PY-PO-AS). |
| (17) Formation de Trieste | Locale | Zone 18 672004 mE 5893765 mN à 667131 mE 5893201 mN | 33H01 | Cartographie – Région du lac Joubert, Baie-James | G29 | Pénélope Burniaux Hanafi Hammouche | Au | Extension de 4 km x 0,3 km de la bande volcano-sédimentaire de la Fm. de Trieste dans le couloir de cisaillement au contact des sous-provinces de La Grande et d'Opinaca. |
| (18) Zone de cisaillement de Joubert | Régionale | Zone 19 335160 mE 5900260 mN à 341600 mE 5883160 mN | 23E03 | Cartographie – Région du lac Joubert, Baie-James | G29 | Pénélope Burniaux Hanafi Hammouche | Au-Ag | Zone de cisaillement régionale affectant les métasédiments altérés à SM ± GR de la Fm. de la rivière Salomon. Renferme un indice Au-Ag connu (Scrou-Ten; 3,7 à 39,2 g/t Au et 25 g/t Ag) contenant des sulfures (AS-PO-PY). |
| Province du Supérieur (Baie-James) – Région administrative Nord-du-Québec | | | | | | | | |
| (19) Iléosud | Régionale | Zone 18 430321 mE 5901672 mN à 431757 mE 5900933 mN | 33F08 | Cartographie – Région du lac de Villaret, Baie-James | G30 | Jean Goutier Joséphine Gigon | Cu | Cinq types de minéralisations associées à une anomalie magnétique dans paragneiss de l'Opinaca: niveaux de schiste à GP-PO-PY; zones métriques de paragneiss cisailé et altéré; zones centimétriques à AM-DP-PG-CP-PO-PY; veines remobilisées de PO massive (70 %); granite à TL-PO. |
| Province du Supérieur (Chapais) – Région administrative Nord-du-Québec | | | | | | | | |
| (20) 113-PH | Ponctuelle | Zone 18 522353 mE 5515491 mN | 32G15 | Cartographie et compilation – Région du lac à l'Eau Jaune, Chapais | G32 | François Leclerc Mehdi Guemache Francis Talla Takam | Cu-Zn-Ag | Veines et veinules de QZ-PY millimétriques à centimétriques coupant des rhyolites porphyriques, massives et coussinées. |
| (21) Bosum-Sud | Ponctuelle | Zone 18 510552 mE 5504354 mN | 32G10 | Cartographie et compilation – Région du lac à l'Eau Jaune, Chapais | G32 | François Leclerc Mehdi Guemache Francis Talla Takam | Cu-Zn-Ag | Lit de sulfures massifs (PY-PO) de 50 cm d'épaisseur dans un basalte massif coupé par un gabbro comagmatique et un dyke de granite porphyrique. |
| (22) Lac à l'Eau Jaune-5 | Ponctuelle | Zone 18 520453 mE 5501014 mN | 32G10 | Cartographie et compilation – Région du lac à l'Eau Jaune, Chapais | G32 | François Leclerc Mehdi Guemache Francis Talla Takam | Cu-Zn-Ag | Sulfures disséminés (PY-CP) dans une unité de mudrock graphiteux au contact avec des basaltes coussinés. |
| (23) Lac Philippon-3 | Régionale | Zone 18 525994 mE 5529247 mN | 32G15 | Cartographie et compilation – Région du lac à l'Eau Jaune, Chapais | G32 | François Leclerc Mehdi Guemache Francis Talla Takam | Cu | Veines de QZ-CB millimétriques à centimétriques avec CP disséminée dans un gabbro quartzifère du Filon-couche de Bourbeau. Les épontes des veines sont caractérisées par une forte altération en malachite. |
| (24) Dimanche | Régionale | Zone 18 518812 mE 5522614 mN à 519497 mE 5523446 mN | 32G15 | Cartographie et compilation – Région du lac à l'Eau Jaune, Chapais | G32 | François Leclerc Mehdi Guemache Francis Talla Takam | Cu-Zn-Ag | Tufs à lapillis grossiers et brèches de coulée andésitique. Les fragments épidotisés et étirés flottent dans matrice riche en phénocristaux de PG avec des sulfures disséminés (PY-PO). |
| Province de Grenville – Régions administratives Mauricie – Abitibi-Témiscamingue – Laurentides – Outaouais | | | | | | | | |
| (25) Indice Galipeau1 (15-FS-1072B) | Ponctuelle | Zone 18 497674 mE 5262904 mN | 31O11 | Cartographie – Région de Clova, Haute-Mauricie | G67 | Abdelali Moukhsil Saïd Belkacim Fabien Solgadi | ETR | Dyke de pegmatite granitique rosâtre (<1 m d'épaisseur) coupant un gabbro magnétique. Présence d'allanite, de monazite et de carbonates de terres rares. >5636 ppm ETR (599 ppm Nd), 648 ppm Th. |
| (26) Indice Galipeau2 (15-FS-1074C) | Ponctuelle | Zone 18 496247 mE 5266023 mN | 31O11 | Cartographie – Région de Clova, Haute-Mauricie | G67 | Abdelali Moukhsil Saïd Belkacim Fabien Solgadi | Th | Dyke de pegmatite granitique rosâtre, ± 40 cm d'épaisseur, coupant un granite folié, faiblement hématitisé, à grain moyen et modérément déformé. 554 ppm Th. |
| (27) Koroleff (15-DG-8008C) | Ponctuelle | Zone 18 494485 mE 5301931 mN | 31O14 | Cartographie – Région de Clova, Haute-Mauricie | G67 | Abdelali Moukhsil Saïd Belkacim Fabien Solgadi | ETR | Dyke de pegmatite granitique rosâtre, ±50 à 70 cm d'épaisseur, coupant une mangérite. 1072 ppm ETR, 120 ppm Th, 14 ppm U. |
| (28) Indice Tamarac (15-TC-5152A) | Ponctuelle | Zone 18 458519 mE 5325142 mN | 32B04 | Cartographie – Région de Clova, Haute-Mauricie | G67 | Abdelali Moukhsil Saïd Belkacim Fabien Solgadi | Ni-Cu | Webstérite foliée, à grain fin et modérément déformée, avec sulfures (5 % PO, PY, CP) disséminés en grains millimétriques. 3090 ppm Cu, 1370 ppm Ni, 150 ppb Au, 1200 ppm Cr, 2,2 ppm Ag et 0,97 % S. |

| Numéro et nom | Taille | Localisation (UTM NAD83) | Feuillet SNRC | Projet | Photoprésentation | Responsable(s) | Substance(s) | Description |
|--------------------------------|------------|---|---------------|--|-------------------|--|-----------------------|--|
| (29) Victorine (15-TC-5073B) | Ponctuelle | Zone 18 454091 mE 5325100 mN | 32B04 | Cartographie – Région de Clova, Haute-Mauricie | G67 | Abdelali Moukhsil Saïd Belkacim Fabien Solgadi | Ni-Cu | Clinopyroxénite minéralisée en sulfures (1 à 5 %), associée à une périclase et à une dunité altérées. Les sulfures (PO, CP) sont disséminés en grains millimétriques. 210 ppm Cu, 245 ppm Ni et 1,01 % S. |
| (30) Vance (15-FS-1096D) | Ponctuelle | Zone 18 433319 mE 5334985 mN | 32B04 | Cartographie – Région de Clova, Haute-Mauricie | G67 | Abdelali Moukhsil Saïd Belkacim Fabien Solgadi | Ni-Cu | Niveau de clinopyroxénite (10 cm d'épaisseur) à grain moyen, dans paragneiss migmatitique. Minéralisation en sulfures (5 %) disséminés en grains millimétriques (PO, PY, tr CP). 232 ppm Cu, 13 ppm Ni et 1,98 % S. |
| (31) Hayes (15-GC-2242A) | Ponctuelle | Zone 18 457289 mE 5311116 mN | 31O13 | Cartographie – Région de Clova, Haute-Mauricie | G67 | Abdelali Moukhsil Saïd Belkacim Fabien Solgadi | Ni-Cu | Pyroxénite massive à grain moyen contenant des sulfures disséminés (5 %) comprenant PO (3 %), CP (1 %) et PY (1 %). De petits grains de MG (2 %) sont également observés. 494 ppm Cu, 194 ppm Ni et 0,88 % S. |
| (32) Fouad (15-SJ-3123B) | Ponctuelle | Zone 18 442814 mE 5314243 mN | 31O13 | Cartographie – Région de Clova, Haute-Mauricie | G67 | Abdelali Moukhsil Saïd Belkacim Fabien Solgadi | Ni-Cu | Enclaves de clinopyroxénite (10 à 20 cm d'épaisseur) à grain moyen dans gabbronorite. La roche contient des sulfures (2 % PO, 1 % PY et <1 % CP) constitués de grains millimétriques. 813 ppm Cu, 522 ppm Ni et 6,18 % S. |
| (33) Adverse (15-SJ-3130B) | Ponctuelle | Zone 18 455685 mE 5313218 mN | 31O13 | Cartographie – Région de Clova, Haute-Mauricie | G67 | Abdelali Moukhsil Saïd Belkacim Fabien Solgadi | Ni-Cu | Amas (1 à 40 cm) de clinopyroxénite dans une monzodiorite quartzifère. Ces amas sont minéralisés en sulfures (7 %, 4 % PO, 2 % PY et <1 % CP) disséminés en grains millimétriques. 716 ppm Cu, 456 ppm Ni et 5,14 % S. |
| (34) Jens (15-FS-1065C) | Ponctuelle | Zone 18 434616 mE 5272758 mN | 31O12 | Cartographie – Région de Clova, Haute-Mauricie | G67 | Abdelali Moukhsil Saïd Belkacim Fabien Solgadi | Ni-Cu | Gabbronorite à GR, à grain moyen, folié, magnétique, avec 3 % sulfures (2 % PO, 1 % PY et <1 % CP). 1020 ppm Cu, 25 ppm Ni et 1,12 % S. |
| (35) Ted (15-AM-164A) | Ponctuelle | Zone 18 486498 mE 5334411 mN | 32B03 | Cartographie – Région de Clova, Haute-Mauricie | G67 | Abdelali Moukhsil Saïd Belkacim Fabien Solgadi | Fe-Ti-P | Gabbronorite massif à grain grossier, contenant environ 25 % d'oxydes de fer-titane (MG et IM). Contient de rares grains millimétriques d'apatite (<1 %). Minéralisation de type OAGN. 13 % Fe, 3,4 % TiO ₂ et 0,37 % P ₂ O ₅ . |
| (36) Yarvard (15-SB-6090A) | Ponctuelle | Zone 18 443248 mE 5300573 mN | 31O13 | Cartographie – Région de Clova, Haute-Mauricie | G67 | Abdelali Moukhsil Saïd Belkacim Fabien Solgadi | Fe-Ti-P | Gabbronorite très déformée, à grain moyen à grossier et à structure ophitique, localement coronitique. Il contient environ 10 % d'oxydes de fer-titane (IM et MG) et ±5 % d'apatite en grains millimétriques. 12,5 % Fe, 2,14 % P ₂ O ₅ et 3,68 % TiO ₂ . |
| (37) Portia (15-SB-6060A) | Ponctuelle | Zone 18 455785 mE 5330973 mN | 32B04 | Cartographie – Région de Clova, Haute-Mauricie | G67 | Abdelali Moukhsil Saïd Belkacim Fabien Solgadi | GP-SM | Paragneiss à GR (2 %), rubané, stromatique et à grain moyen. Présence de GP (3 %) en paillettes millimétriques et de SM (3 %) en baguettes (1-5 mm). 18,7 % Al ₂ O ₃ . |
| (38) Indice Rust (15-GC-2161A) | Ponctuelle | Zone 18 431643 mE 5304915 mN | 31O13 | Cartographie – Région de Clova, Haute-Mauricie | G67 | Abdelali Moukhsil Saïd Belkacim Fabien Solgadi | GP | Paragneiss à grain moyen avec ±12 % de GP en paillettes millimétriques disposées parallèlement à la gneissosité. PO disséminée (2 %) souvent associée au GP. 2,67 % C et 1,08 % S. |
| (39) Péronne (15-TC-5084A) | Ponctuelle | Zone 18 429465 mE 5322477 mN | 32B04 | Cartographie – Région de Clova, Haute-Mauricie | G67 | Abdelali Moukhsil Saïd Belkacim Fabien Solgadi | GP-SM | Paragneiss à GR rubané et à grain moyen contenant de la SM (35 %) en baguettes millimétriques et du GP (2 %) disséminé en paillettes millimétriques. 18,5 % Al ₂ O ₃ . |
| (40) Canot (15-GC-2213A) | Ponctuelle | Zone 18 491810 mE 5291162 mN | 31O14 | Cartographie – Région de Clova, Haute-Mauricie | G67 | Abdelali Moukhsil Saïd Belkacim Fabien Solgadi | SM | Paragneiss à GR rubané et à grain moyen contenant de la SM (30 %) sous la forme de grains et de baguettes millimétriques. |
| (41) Moon (15-AM-147A) | Ponctuelle | Zone 18 443311 mE 5317000 mN | 32B04 | Cartographie – Région de Clova, Haute-Mauricie | G67 | Abdelali Moukhsil Saïd Belkacim Fabien Solgadi | Pierre architecturale | Syénite rose porphyrique à phénocristaux de feldspath potassique (<1,5 cm), foliée et à grain grossier. La syénite présente un volume considérable et est facile d'accès. |
| (42) Réjane (15-SB-6022C) | Locale | Zone 18 464980 mE 5323567 mN à 466217 mE 5324646 mN | 32B03 | Cartographie – Région de Clova, Haute-Mauricie | G67 | Abdelali Moukhsil Saïd Belkacim Fabien Solgadi | Fe | Formation de fer rubanée constituée de niveaux centimétriques riches en silicates ferrugineux, de chert (1 cm), de grenatite (4 cm) et de MG massive. 20 % Fe, 860 ppm Cu, 165 ppm Ni, 3,8 ppm Ag et 13,8 % S. |
| (43) Duchamp (15-AM-51C) | Locale | Zone 18 474504 mE 5332123 mN à 476266 mE 5332063 mN | 32B03 | Cartographie – Région de Clova, Haute-Mauricie | G67 | Abdelali Moukhsil Saïd Belkacim Fabien Solgadi | Fe | Formation de fer rubanée constituée de niveaux laminaires et répétitifs riches en silicates ferrugineux (7-10 cm), de chert (5-10 cm), d'oxydes de fer (1-10 cm) et de grenatite (<5 cm). 24,7 % Fe. |

| Numéro et nom | Taille | Localisation (UTM NAD83) | Feuillet SNRC | Projet | Photoprésentation | Responsable(s) | Substance(s) | Description |
|--|------------|---|---------------|--|-------------------|--|----------------|---|
| (44) Foligné (15-TC-5055B) | Locale | Zone 18 476534 mE 5333421 mN à 477417 mE 5333727 mN | 32B03 | Cartographie – Région de Clova, Haute-Mauricie | G67 | Abdelali Moukhsil Saïd Belkacim Fabien Solgadi | Ni-Cu | Gabbronorite à GR et MG, à grain grossier et structure coronitique. Il contient une minéralisation de sulfures disséminés (3 % PY, PO et CP) en grains millimétriques. 327 ppm Cu, 34 ppm Ni et 0,39 % S. |
| (45) Indice Siam (15-FS-1177C et B) | Ponctuelle | Zone 18 485354 mE 5262060 mN | 31O11 | Cartographie – Région de Clova, Haute-Mauricie | G67 | Abdelali Moukhsil Saïd Belkacim Fabien Solgadi | Cu-Ag | Dyke pegmatitique de syénite quartzifère rosâtre (0,5 m d'épaisseur). Présence AM, CX, MG, PY et CP. 2800 ppm Cu, 13 ppm Ni, 2,1 ppm Ag et 1,1 % S; 6,3 ppm Ag. |
| (46) Apok (15-FS-1035C) | Ponctuelle | Zone 18 497171 mE 5343437 mN | 32B03 | Cartographie – Région de Clova, Haute-Mauricie | G67 | Abdelali Moukhsil Saïd Belkacim Fabien Solgadi | Cu | Niveaux de quartzite rouillé à sulfures disséminés (PO, PY, CP). Ces niveaux (5 à 10 cm d'épaisseur) sont intercalés dans un paragneiss à BO. 933 ppm Cu, 39 ppb Au et 5,89 % S. |
| (47) Indice Le Breton (15-DG-8116A) | Ponctuelle | Zone 18 459127 mE 5301931 mN | 31O13 | Cartographie – Région de Clova, Haute-Mauricie | G67 | Abdelali Moukhsil Saïd Belkacim Fabien Solgadi | Cu | Amphibolite à GR (10 à 20 %), probablement dérivée d'une roche volcanique mafique. 3470 ppm Cu, 1,7 ppm Ag et 0,13 % S. |
| (48) Indice de la Colombe (15-FS-1125D) | Ponctuelle | Zone 18 428100 mE 5302279 mN | 31O13 | Cartographie – Région de Clova, Haute-Mauricie | G67 | Abdelali Moukhsil Saïd Belkacim Fabien Solgadi | GP-Zn-Ag | Niveaux graphiteux (5 à 10 %) dans un paragneiss à BO avec sulfures (<2 %, PO, PY) disséminés en grains millimétriques. 3,43 % C, 1560 ppm Zn, 2,2 ppm Ag et 1,25 % S. |
| (49) Indice Kekek (15-AM-200B) | Ponctuelle | Zone 18 433158 mE 5342784 mN | 32B04 | Cartographie – Région de Clova, Haute-Mauricie | G67 | Abdelali Moukhsil Saïd Belkacim Fabien Solgadi | ETR | Poche de pegmatite granitique à muscovite (albitisée) dans un paragneiss migmatitique à biotite. 1860 ppm ETR (289 ppm Nd). |
| (50) Indice Shingle (15-GC-2122C) | Ponctuelle | Zone 18 496508 mE 5282091 mN | 31O11 | Cartographie – Région de Clova, Haute-Mauricie | G67 | Abdelali Moukhsil Saïd Belkacim Fabien Solgadi | ETR | Gabbro migmatitique injecté par des dykes de pegmatite granitique (<1 m d'épaisseur). 2541 ppm ETR (471 ppm Nd, 128,79 ppm TR lourdes) et 286 ppm Y. |
| Provinces de Grenville – Région administrative Côte Nord | | | | | | | | |
| (51) Pentland (15-PA-163F) | Ponctuelle | Zone 19 458637 mE 5354261 mN | 22C05 | Cartographie – Projet Les Escoumins, Côte Nord | G61 | Abdelali Moukhsil Pierre-Arthur Groulier | Cu-Zn-Pb-Ag-Au | Blocs erratiques décimétriques à métriques minéralisés (PO-CP-SP-GL-PY) localisés près d'une zone d'altération au cœur d'une séquence volcanique. |
| (52) Philias (15-PA-243C) | Ponctuelle | Zone 19 487160 mE 5389242 mN | 22C11 | Cartographie – Projet Les Escoumins, Côte Nord | G61 | Abdelali Moukhsil Pierre-Arthur Groulier | Pb-Zn-Ag | Brèche hydrothermale décimétrique à métrique à structure localement en cocarde. Présence de cristaux de PY centimétriques, plusieurs générations de sulfures, avec matrice riche en GL et SP. |
| (53) Truchon (15-PA-282B+L) | Ponctuelle | Zone 19 463333 mE 5375284 mN | 22C11 | Cartographie – Projet Les Escoumins, Côte Nord | G61 | Abdelali Moukhsil Pierre-Arthur Groulier | Ni-Cu-EGP | Gabbronorite à olivine et à globules de sulfures (1 %, PO-CP-PD). |
| (54) Tonia (15-PA-299B) | Ponctuelle | Zone 19 473106 mE 5375740 mN | 22C11 | Cartographie – Projet Les Escoumins, Côte Nord | G61 | Abdelali Moukhsil Pierre-Arthur Groulier | Mo-Ni-Cu-EGP | Veine centimétrique de sulfures (PO-PD-CP) semi-massifs à massifs coupant un gabbronorite. Cette roche est coupée par un dyke centimétrique de tonalite contenant de la MO (1 à 2 %). |
| Province de Churchill (Grand Nord) – Région administrative Nord-du-Québec | | | | | | | | |
| (55) 15-JL-3059 | Ponctuelle | Zone 19 606348 mE 6264060 mN | 24B11 | Cartographie – Région du lac Jeannin, Churchill SE | G68 | Isabelle Lafrance Benoit Charette | Fe ± Au | Plusieurs zones rouillées métriques (1-10 m) avec sulfures disséminés (PO-PY) dans une séquence volcano-sédimentaire. Correspond à une forte anomalie magnétique d'environ 2 km x 1 km. 28,5 % Fe ₂ O ₃ . |
| (56) 15-JC-5067 | Ponctuelle | Zone 19 597009 mE 6270633 mN | 24B11 | Cartographie – Région du lac Jeannin, Churchill SE | G68 | Isabelle Lafrance Benoit Charette | Cu-Zn | Niveau (1-3 m) de sulfures semi-massifs et amphibolite à PO-PY. Zone d'altération formée d'une roche calcosilicatée à GR-BO-AC-CB. En bordure d'un linéament magnétique de 300 m x 1 km plissé selon un axe E-W. 620 ppm Cu, 620 ppm Zn et 420 ppm Ni. |
| (57) 15-MP-1041 | Ponctuelle | Zone 19 602031 mE 6279948 mN | 24B11 | Cartographie – Région du lac Jeannin, Churchill SE | G68 | Isabelle Lafrance Benoit Charette | Cu-Zn | Métasédiments magnétiques à sulfures disséminés et niveau de 5-6 m de formation de fer silicatée à GP-PO-PY. Linéament magnétique de 350 m x 5 km. Cible de Zn dans les sédiments de fond de lac à <1,5 km au WNW. 1840 ppm Zn, 570 ppm Cu et 320 ppm Ni. |
| (58) 15-MO-7068 | Ponctuelle | Zone 19 588350 mE 6269417 mN | 24B12 | Cartographie – Région du lac Jeannin, Churchill SE | G68 | Isabelle Lafrance Benoit Charette | Cu-Zn | Lentilles métriques de sulfures massifs et métagabbros à sulfures disséminés dans séquence de parashistes. Minéralisation associée à un linéament magnétique marquant le flanc sud d'un pli E-W. 700 ppm Cu, 390 ppm Zn et 390 Ni. |

| Numéro et nom | Taille | Localisation (UTM NAD83) | Feuillet SNRC | Projet | Photoprésentation | Responsable(s) | Substance(s) | Description |
|-----------------|------------|--|---------------|--|-------------------|--------------------------------------|-----------------|---|
| (59) 15-MP-1058 | Ponctuelle | Zone 19 647731 mE 6291461 mN | 24B10 | Cartographie – Région du lac Jeannin, Churchill SE | G68 | Isabelle Lafrance Benoit Charette | Cu-Zn ± Au ± Ag | Quatre zones de chapeaux de fer d'épaisseur métrique (jusqu'à 7 m x 100 m) dans paragneiss avec sulfures disséminés localement graphiteux. |
| (60) 15-NL-4053 | Ponctuelle | Zone 19 601714 mE 6275680 mN | 24B11 | Cartographie – Région du lac Jeannin, Churchill SE | G68 | Isabelle Lafrance Benoit Charette | Cu-Zn | Sulfures semi-massifs et zone rouillée de 180 m x 20 m incluant <15 % PO disséminée ou en veinules dans une amphibolite à GR. Anomalie magnétique linéaire d'environ 5 km x 300 m. 1080 ppm Cu, 2800 ppm Zn et 460 ppm Ni; 1550 ppm Zn et 110 ppm Mo. |
| (61) 15-JL-3124 | Ponctuelle | Zone 19 621464 mE 6209529 mN | 24B03 | Cartographie – Région du lac Jeannin, Churchill SE | G68 | Isabelle Lafrance Benoit Charette | Cu-Zn | Zone rouillée d'environ 50 m x 4 m au contact entre une amphibolite à grain fin et un métasédiment graphiteux. PO disséminée dans les deux lithologies et en association avec veines carbonatées. |
| (62) 15-NL-4171 | Ponctuelle | Zone 19 646437 mE 6207770 mN | 23O15 | Cartographie – Région du lac Jeannin, Churchill SE | G68 | Isabelle Lafrance Benoit Charette | Cu-Zn | Zone rouillée décimétrique à métrique présentant de 1 % à 3 % de PO disséminée ou en veinules dans métabasalte. Association avec altération en CL-CB. |
| (63) 15-BC-6060 | Ponctuelle | Zone 19 589096 mE 6276105 mN | 24B12 | Cartographie – Région du lac Jeannin, Churchill SE | G68 | Isabelle Lafrance Benoit Charette | Ni-Cu | Roche ultramafique amphibolitisée à grain fin présentant ±2 % de PY-PO ± CP en amas millimétriques à centimétriques. Associée à une forte anomalie magnétique circulaire kilométrique. 899 ppm Ni, 240 ppm Cu et 1,9 % TiO ₂ . |
| (64) 15-JL-3020 | Ponctuelle | Zone 19 648568 mE 6314956 mN | 24B15 | Cartographie – Région du lac Jeannin, Churchill SE | G68 | Isabelle Lafrance Benoit Charette | Ni-Cu | Roche mafique à ultramafique magnétique présentant quelques niveaux rouillés, située à ±2 km d'une cible de Cu dans l'environnement secondaire. |
| (65) 15-MP-1085 | Régionale | Zone 19 593507 mE 6270644 mN à 596154 mE 6271533 mN | 24B11 | Cartographie – Région du lac Jeannin, Churchill SE | G68 | Isabelle Lafrance Benoit Charette | Cu-Zn | Sulfures massifs d'aspect fragmentaire (obs. sur <5-7 m) et sulfures disséminés dans amphibolites. Correspond à une faible anomalie magnétique au cœur d'un pli E-W. À <400 m d'une cible de Zn dans l'environnement secondaire. |
| (66) 15-JL-3041 | Régionale | Zone 19 584652 mE 6297689 mN à 585796 mE 6298245 mN | 24B13 | Cartographie – Région du lac Jeannin, Churchill SE | G68 | Isabelle Lafrance Benoit Charette | Cu-Zn-Au | Niveaux de sulfures disséminés (<6 m) et zones d'altération (roches carbonatées à DP-HB-CL-PO) dans métapélite graphiteuse. La cible correspond à un très fort linéament magnétique de 250 m x 10 km associé à une faille. |
| (67) 15-MP-1112 | Régionale | Zone 19 610647 mE 6250930 mN à 614489 mE 6248962 mN | 24B06 | Cartographie – Région du lac Jeannin, Churchill SE | G68 | Isabelle Lafrance Benoit Charette | Cu-Zn | Zones de sulfures disséminés (majoritairement PO; 5-10 %) associées à séquence de métavolcanites à dominance mafique. Minéralisation généralement associée aux niveaux felsiques et intermédiaires et aux zones schisteuses. 940 ppm Zn et 180 ppm Cu. |
| (68) 15-MO-7163 | Régionale | Zone 19 669693 mE 6187465 mN à 676410 mE 6184128 mN | 23O16 | Cartographie – Région du lac Jeannin, Churchill SE | G68 | Isabelle Lafrance Benoit Charette | Cu-Zn | Zones rouillées d'épaisseur décimétrique à métrique comprenant 1 à 5 % de PY-PO ± AS disséminées dans métabasaites amphibolitisés. Ces zones, observées dans deux secteurs séparés de 5 km, s'alignent sur un linéament magnétique NW-SE. |
| (69) 15-LP-2183 | Régionale | Zone 19 637667 mE 6216197 mN à 639886 mE 6212074 mN | 24B02 | Cartographie – Région du lac Jeannin, Churchill SE | G68 | Isabelle Lafrance Benoit Charette | Cu-Zn | Plusieurs niveaux rouillés à PO-PY disséminées ou en amas allongés dans séquence de métabasaites. Les deux secteurs visités sont séparés de 3 km et suivent un fort linéament magnétique NNW-SSE. |
| (70) 15-JL-3086 | Régionale | Zone 19 561739 mE 6277386 mN à 589560 mE 6273017 mN | 24B12 | Cartographie – Région du lac Jeannin, Churchill SE | G68 | Isabelle Lafrance Benoit Charette | ETR-Nb-Ta | Zone d'altération régionale au contact avec la Fosse du Labrador, marquée par l'omniprésence de CB et AC fibroradiée et de veines de QZ-CB ± SF. Dans le prolongement de la carbonatite du Complexe de Le Moyne. 159 ppm Nb, 9,4 ppm Ta et 497 ppm ETR. |

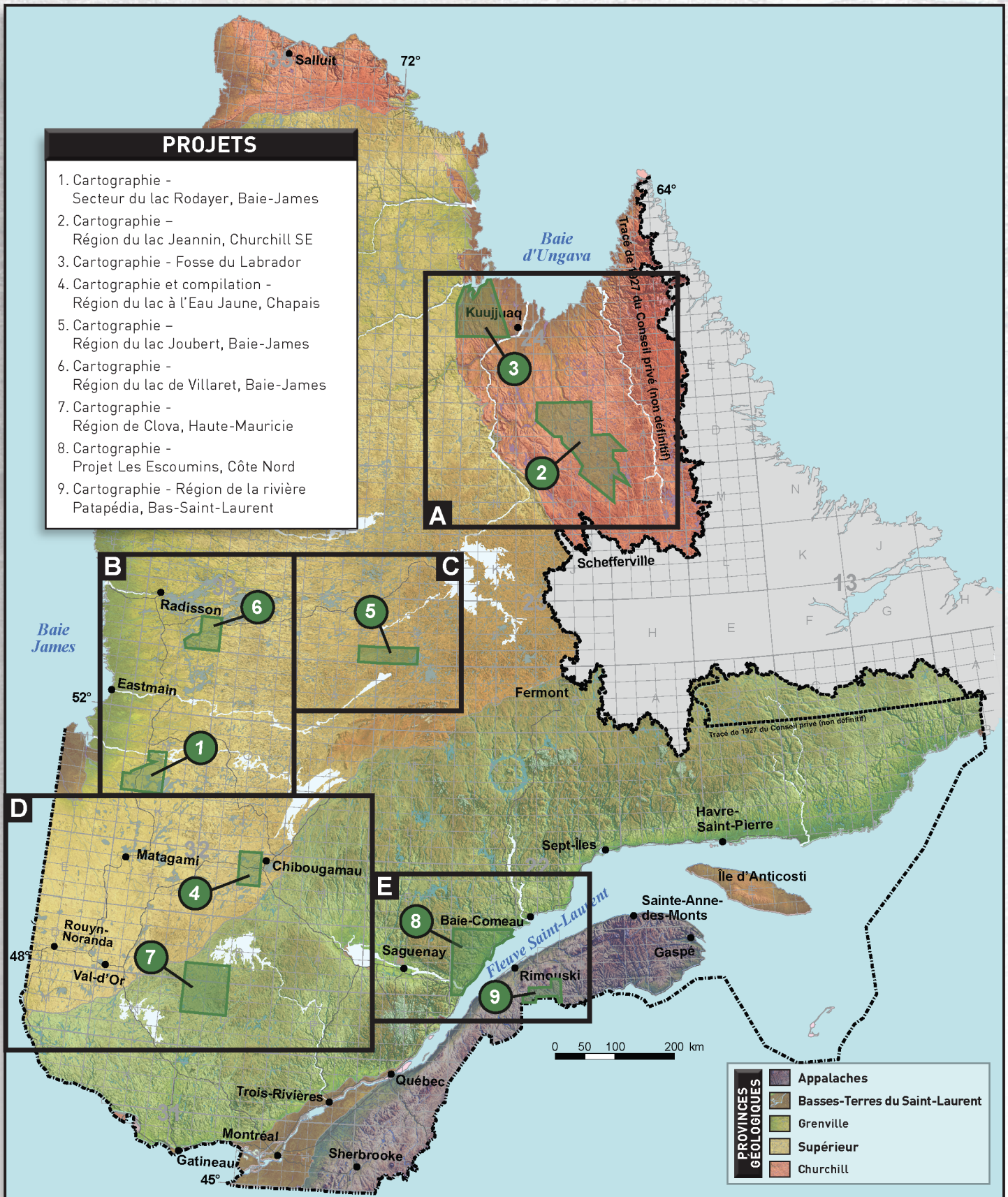
| Numéro et nom | Taille | Localisation (UTM NAD83) | Feuille SNRC | Projet | Photoprésentation | Responsable(s) | Substance(s) | Description |
|--|------------|---|--------------|--|-------------------|--------------------------------------|-----------------|--|
| (71) 15-JC-5212 | Régionale | Zone 19 661714 mE 6292387 mN à 664360 mE 6291864 mN | 24B09 | Cartographie – Région du lac Jeannin, Churchill SE | G68 | Isabelle Lafrance Benoit Charette | Cu-Zn ± Au ± Ag | Zones rouillées métriques à sulfures et GP dans paragneiss migmatitisés. Jusqu'à 10 % PO dans les paragneiss et le mobilisat. La zone correspond à un fort linéament magnétique E-W. 430 ppm Cu, 370 Ni et 130 ppm Zn. |
| (72) 15-JC-5206 | Régionale | Zone 19 615155 mE 6300724 mN à 619160 mE 6299124 mN | 24B14 | Cartographie – Région du lac Jeannin, Churchill SE | G68 | Isabelle Lafrance Benoit Charette | Cu-Zn ± Au ± Ag | Plusieurs zones rouillées de 5 à 30 m d'épaisseur dans paragneiss migmatitisés. La minéralisation comprend 2-5 % de sulfures disséminés ou en veinules (majoritairement PO), ainsi que de veines de QZ-PO. |
| (73) Indice Champdoré Sud | Ponctuelle | Zone 20 330830 mE 6191428 mN | 23P13 | Cartographie – Région du lac Jeannin, Churchill SE | G68 | Isabelle Lafrance Benoit Charette | Ag | Monzodiorite quartzifère à phénocristaux de feldspath potassique. 10,8 g/t Ag, 41 ppm Th et 311 ppm ETR. |
| (74) Indice Marcel | Ponctuelle | Zone 19 550225 mE 6305951 mN | 24C16 | Cartographie – Région du lac Jeannin, Churchill SE | G68 | Isabelle Lafrance Benoit Charette | GP | Méta-argilite schisteuse, rouillée et graphiteuse. 7,7 % C graphitique, 60 ppm As, 31 ppm U, 24 ppb Au, 767 ppm V et 76 ppm Mo. |
| (75) 15-MP-1212 | Ponctuelle | Zone 19 665143 mE 6242991 mN | 24B08 | Cartographie – Région du lac Jeannin, Churchill SE | G68 | Isabelle Lafrance Benoit Charette | Cu | Zone d'environ 2 m de largeur renfermant 1 à 2 % PY disséminée dans un paragneiss fortement migmatitisé. Correspond à un linéament magnétique d'environ 300 m de largeur sur 2 km de longueur. 2240 ppm Cu. |
| (76) 15-BC-6047 | Ponctuelle | Zone 19 590463 mE 6292244 mN | 24B13 | Cartographie – Région du lac Jeannin, Churchill SE | G68 | Isabelle Lafrance Benoit Charette | Zn-Cu | Zone rouillée d'environ 5 m x 5 m dans une méta-argilite à GP et GR avec 1 à 4 % de sulfures disséminés (PY et CP). 3830 ppm Zn et 480 ppm Cu; 2220 ppm Zn et 540 ppm Cu. |
| Province de Churchill (Grand Nord) – Région administrative Nord-du-Québec | | | | | | | | |
| (77) 15-MB-4097-B | Ponctuelle | Zone 19 444347 mE 6438089 mN | 24K04 | Cartographie – Fosse du Labrador | G70 | Carl Bilodeau | Polymétallique | Jusqu'à 10 % de PO dans un gabbro mésocrate massif et homogène près du contact avec des métasédiments rouillés et injectés de veinules de calcite. |
| (78) 15-CB-1044-A | Ponctuelle | Zone 19 478544 mE 6471350 mN | 24K06 | Cartographie – Fosse du Labrador | G70 | Carl Bilodeau | Variées | Lambeau de sédiment silteux renfermant jusqu'à 10 % PO dans basalte minéralisé. Le siltstone présente une altération blanchâtre (hydrothermalisme?). |
| (79) Kaslac – Sud | Régionale | Zone 19 504996 mE 6507048 mN à 504628 mE 6501882 mN | 24K10 | Cartographie – Fosse du Labrador | G70 | Carl Bilodeau | Fe-Ti ± V | Minéralisations de Fe-Ti-V associées aux mégagabbros ferrifères lités riches en MG et en porphyroblastes de GR. Corridors métriques très riches en oxydes et parfois sulfurés (1 % PY-CP). |
| (80) Boulder – Contact Est | Régionale | Zone 19 488888 mE 6460100 mN à 494036 mE 6452188 mN | 24K03 | Cartographie – Fosse du Labrador | G70 | Carl Bilodeau | Polymétallique | Paraschistes, méta-arénite et microgabbro renfermant jusqu'à 10 % PY. Déformation très intense au NE de la Klippe de Boulder marquée par des boudins de QZ et de multiples injections de QZ-CB. |
| (81) Lac Ballantyne Nord – Extension | Régionale | Zone 19 482854 mE 6495666 mN à 483803 mE 6492021 mN | 24K11 | Cartographie – Fosse du Labrador | G70 | Carl Bilodeau | Cu-Ni-Ag | Minéralisation sulfurée aux contacts inférieure et supérieure d'une amphibolite localement silicifiée. Zone continue sur plus de 100 m associée à des anomalies de sédiments de fond de lac en Li, Cu, Y et As. |
| (82) Lac en crochets – Extension | Régionale | Zone 19 446654 mE 6443992 mN à 447138 mE 6439278 mN | 24K04 | Cartographie – Fosse du Labrador | G70 | Carl Bilodeau | Polymétallique | Plusieurs niveaux métriques avec <15 % PO-PY dans gabbro mésocrate parfois gloméroporphyrrique. En contact avec shales noirs très sulfurés et formation de fer. Zone très déformée, altérée avec abondance de veines de QZ-PY. |

| Numéro et nom | Taille | Localisation (UTM NAD83) | Feuille SNRC | Projet | Photoprésentation | Responsable(s) | Substance(s) | Description |
|--|-----------|--|----------------|--|-------------------|---|---------------------------|---|
| (83) Lac Olmstead-Sud (zone 1) | Régionale | Zone 19 496473 mE 6462055 mN à 499906 mE 6452359 mN | 24K03 24K06 | Cartographie – Fosse du Labrador | G70 | Carl Bilodeau | Cu-Zn-Ag | Alternance de métasédiments et d'amphibolites très schisteuses avec zones pyriteuses concordantes, fracturées et silicifiées contenant des veinules QZ-CB. Zone marquée par des anomalies de sédiments de fond de lac en U, Cu, Y, Zn et La. |
| (84) Lac Olmstead-Sud (zone 2) | Régionale | Zone 19 493414 mE 6465337 mN à 494575 mE 6459148 mN | 24K06 | Cartographie – Fosse du Labrador | G70 | Carl Bilodeau | Cu-Zn-Pb-Cd | Roche ultramafique magnétique et rouillée en contact avec métasédiments et amphibolites schisteuses. Minéralisation en PO disséminée en petits niveaux très fins. Site d'anomalies de sédiments de fond de lac en Y, U, C et La. |
| Province des Appalaches – Région administrative Bas-Saint-Laurent | | | | | | | | |
| (85) Lac Castor | Régionale | Zone 19 546045 mE 5320309 mN à 553467 mE 5325960 mN | 22C01 | Cartographie – Région de la rivière Patapédia, Bas-Saint-Laurent | G14 | Robert Thériault Claude Dion Charles St-Hilaire | Pierre architecturale, Si | Bancs métriques à décimétriques de conglomérat polygénique massif interlités avec grès quartzitiques. Le conglomérat est constitué de cailloux arrondis de composition diverse (grès blanc, roche volcanique verdâtre, mudstone rouge, etc.). |

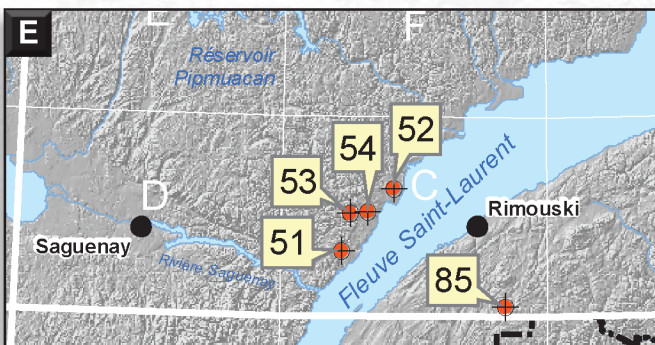
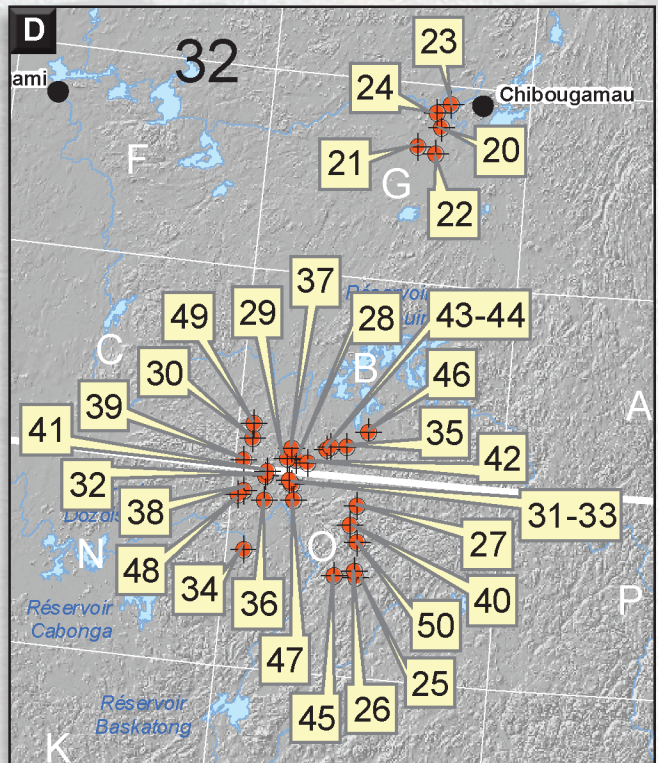
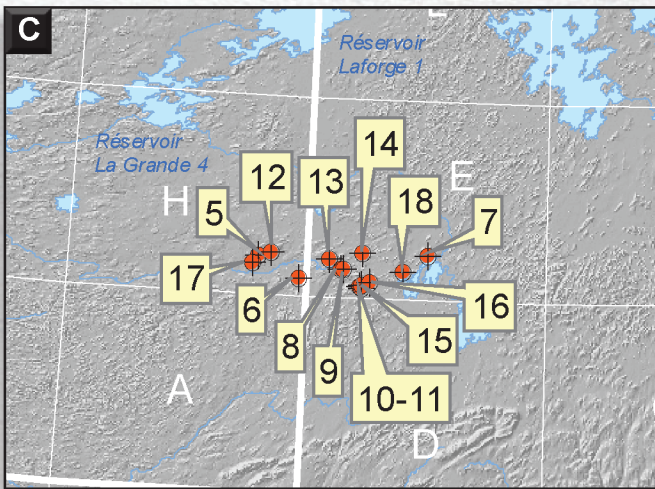
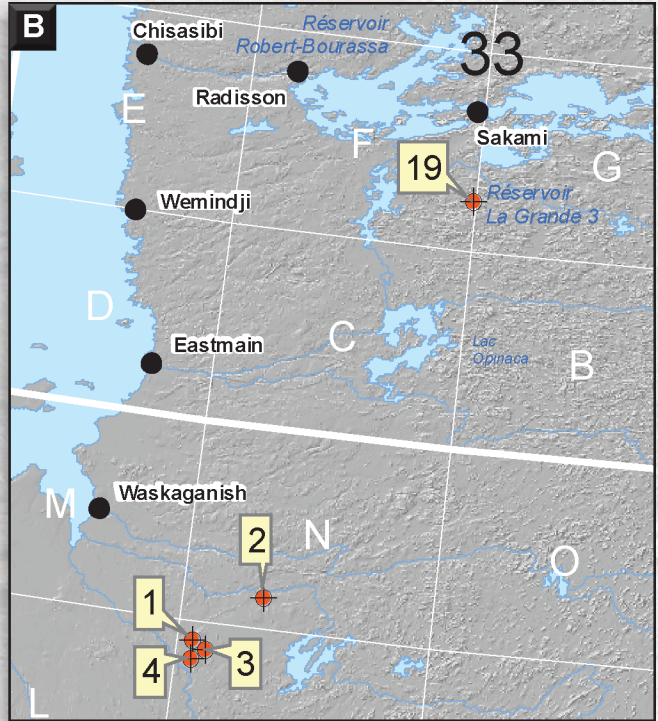
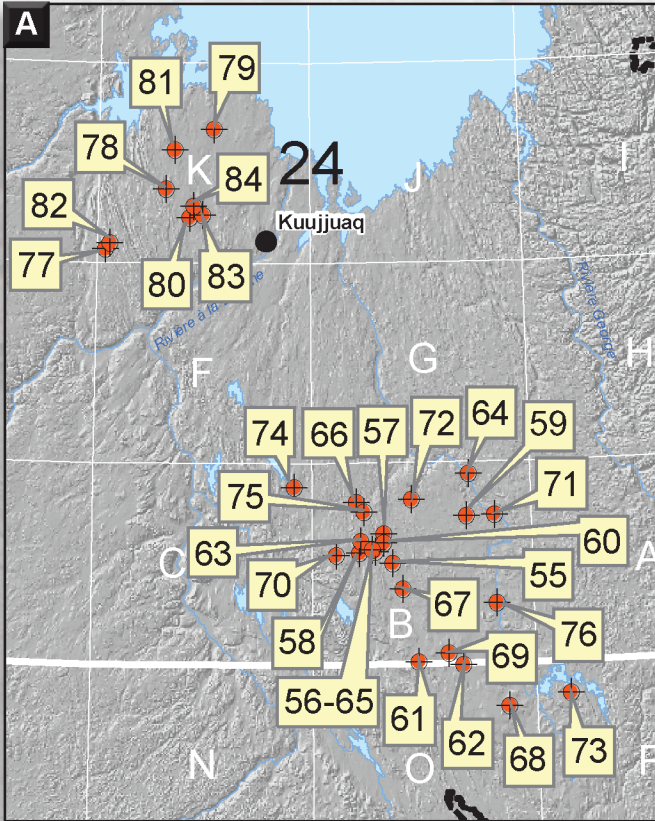
* Les coordonnées représentent le centre d'une cible ponctuelle ou les deux extrémités d'une cible locale ou régionale.

Note : Veuillez consulter le rapport DV 2014-06 pour les abréviations des minéraux (pages 47-50). Ce document est disponible gratuitement dans le SIGÉOM Examine.

LOCALISATION DES PROJETS GÉOSCIENTIFIQUES 2015



LOCALISATION DES CIBLES D'EXPLORATION MINÉRALE



Cible d'exploration minérale